

Wigner formula of rotation matrices and quantum walks

目次

- §1 Introduction
- §2 ランダムターン模型
- §3 量子ウォーク模型の定義
- §4 今野の弱収束の定理
- §5 模型の拡張
- §6 シミュレーションの結果
- §7 Main Result
- §8 今後の課題

プレプリント arXiv : quant-ph/0611022

宮崎玄洋 (中大・理工), 香取真理 (中大・理工), 今野紀雄 (横浜国大・工)

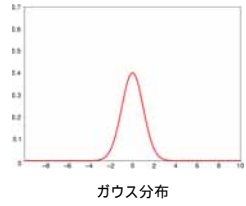
平成18年度九州大学応用力学研究所 研究会
「非線形波動現象における基礎理論、数値計算および実験のクロスオーバー」

2006年11月7日(火)

§1 Introduction

古典的ランダムウォーク
連続極限 (拡散スケーリング極限)

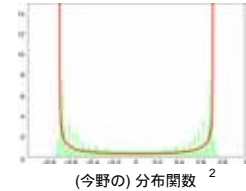
$$\frac{X_t}{\sqrt{t}} \text{ の分布}$$



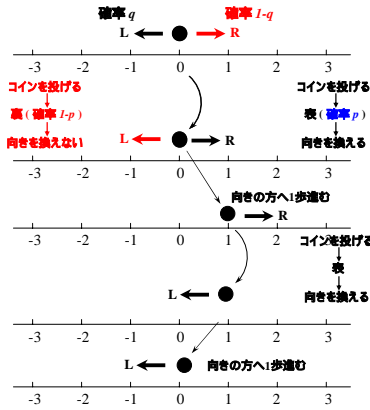
ランダムターン模型

量子ウォーク
擬速度の分布の長時間極限

$$\frac{X_t}{t} \quad t \rightarrow \infty$$



§2 ランダムターン模型 (古典の場合)



3

以上の動作をフーリエ積分を用いて表すと

$$\begin{pmatrix} P_n^{(L)}(x) \\ P_n^{(R)}(x) \end{pmatrix} = \int_{-\pi}^{\pi} \frac{dk}{2\pi} e^{ikx} W(k)^n \begin{pmatrix} q \\ 1-q \end{pmatrix}$$

但し

$$W(k) = \begin{pmatrix} e^{ik} & 0 \\ 0 & e^{-ik} \end{pmatrix} \begin{pmatrix} 1-p & p \\ p & 1-p \end{pmatrix}$$

もし表と裏の出る確率が等しいコイン ($p = 1/2$) ならば、 $W(k)$ の固有値は $\lambda = 0, \lambda = \cos k$ なので $P_n^{(L)}(x) = P_n^{(R)}(x) \equiv P_n(x)/2$ となって粒子の初めの向き q には依らない。

この左右対称な場合は

$$P_n(x) = \int_{-\pi}^{\pi} \frac{dk}{2\pi} e^{ikx} \cos^n k = \frac{1}{2^n} \binom{n}{(n+x)/2}$$

となる。

4

連続極限 (拡散スケーリング極限)

$$n = \frac{t}{\tau}, x \Rightarrow \frac{x}{a}, k \Rightarrow ak$$

$$(\cos k)^n \Rightarrow (\cos ak)^{t/\tau} = \left(1 - \frac{a^2 k^2}{2} + \dots\right)^{t/\tau} \rightarrow e^{-tk^2/2} \text{ as } \tau = a^2 \rightarrow 0$$

$$p_t(x) = \lim_{\tau \rightarrow 0} \frac{P_{t/\tau}(x/a)}{a} = \int_{-\infty}^{\infty} \frac{dk}{2\pi} \exp\left[-\frac{t}{2}k^2 + ikx\right] = \frac{1}{\sqrt{2\pi t}} e^{-x^2/2t}$$

$$\frac{\partial}{\partial t} p_t(x) = \frac{1}{2} \frac{\partial^2}{\partial x^2} p_t(x) \quad \text{with} \quad \lim_{t \rightarrow 0} p_t(x) = \delta(x)$$

熱拡散方程式の解

ランダム・ウォークの分布 \rightarrow ガウス分布
『中心極限定理』の典型例

5

§3 量子ウォーク模型の定義

標準模型 (2 状態, 最近接ホッピング)

古典ランダム・ターンモデル

$$\begin{pmatrix} P_n^{(L)}(x) \\ P_n^{(R)}(x) \end{pmatrix} = \int_{-\pi}^{\pi} \frac{dk}{2\pi} e^{ikx} W(k)^n \begin{pmatrix} q \\ 1-q \end{pmatrix}$$

2状態波動関数

$$\Psi(x, t) = \begin{pmatrix} \Psi_{1/2}(x, t) \\ \Psi_{-1/2}(x, t) \end{pmatrix}$$

初期量子ビット

$$\phi_0 = \begin{pmatrix} q_{1/2} \\ q_{-1/2} \end{pmatrix}$$

$q_m \in \mathbb{C}$ (複素数)
 $|q_{1/2}|^2 + |q_{-1/2}|^2 = 1$

$$V(k) = S(k)R = \begin{pmatrix} e^{ik} & 0 \\ 0 & e^{-ik} \end{pmatrix} \begin{pmatrix} c e^{-i(\alpha+\gamma)/2} & -s e^{-i(\alpha-\gamma)/2} \\ s e^{i(\alpha-\gamma)/2} & c e^{i(\alpha+\gamma)/2} \end{pmatrix}, R \in SU(2)$$

よく使われている行列 アダマール行列 $R = H = \frac{i}{\sqrt{2}} \begin{pmatrix} 1 & 1 \\ 1 & -1 \end{pmatrix}$

確率密度と期待値

波動関数

$$\Psi(x, t) = \int_{-\pi}^{\pi} \frac{dk}{2\pi} \hat{\Psi}(k, t) e^{ikx}$$

確率密度

$$\text{Prob}(X_t = x) = P(x, t) = [\Psi(x, t)]^\dagger \Psi(x, t)$$

X_t = 時刻 t ($= 0, 1, 2, \dots$) での量子ウォークの位置

7

$x \in Z$ を考えると, X_t の r -次のモーメントは次のように計算される。
 $r = 0, 1, 2, \dots$ のとき

$$\begin{aligned} \langle (X_t)^r \rangle &\equiv \sum_{x \in Z} x^r P(x, t) \\ &= \int_{-\infty}^{\infty} \frac{dk}{2\pi} [\hat{\Psi}(k, t)]^\dagger \left(i \frac{d}{dk} \right)^r \hat{\Psi}(k, t) \end{aligned}$$

$$Z = \{\dots, -3, -2, -1, 0, 1, 2, 3, \dots\}$$

8

2つの内部状態をもった波動関数を考えると、量子ウォークの1ステップは次のように表せる。

$$\Psi(x, t) = \begin{pmatrix} \Psi_{1/2}(x, t) \\ \Psi_{-1/2}(x, t) \end{pmatrix}$$

$\Psi(x, t+1) =$

$$\begin{pmatrix} c e^{-i(\alpha+\gamma)/2} \Psi_{1/2}(x+1, t) - s e^{-i(\alpha-\gamma)/2} \Psi_{-1/2}(x+1, t) \\ s e^{i(\alpha-\gamma)/2} \Psi_{1/2}(x-1, t) + c e^{i(\alpha+\gamma)/2} \Psi_{-1/2}(x-1, t) \end{pmatrix}$$

ただし $R(\alpha, \beta, \gamma) = \begin{pmatrix} c e^{-i(\alpha+\gamma)/2} & -s e^{-i(\alpha-\gamma)/2} \\ s e^{i(\alpha-\gamma)/2} & c e^{i(\alpha+\gamma)/2} \end{pmatrix} \in \text{SU}(2)$

2×2 , $\det R = 1$ のユニタリ行列, $c = \cos \frac{\beta}{2}$, $s = \sin \frac{\beta}{2}$

典型的な例: $H = \frac{i}{\sqrt{2}} \begin{pmatrix} 1 & 1 \\ 1 & -1 \end{pmatrix} \in \text{SU}(2)$

§4 今野の弱収束の定理

classical $W(k) = \begin{pmatrix} e^{ik} & 0 \\ 0 & e^{-ik} \end{pmatrix} \begin{pmatrix} 1-p & p \\ p & 1-p \end{pmatrix}$

quantum $V(k) = \begin{pmatrix} e^{ik} & 0 \\ 0 & e^{-ik} \end{pmatrix} \begin{pmatrix} c e^{-i(\alpha+\gamma)/2} & -s e^{-i(\alpha-\gamma)/2} \\ s e^{i(\alpha-\gamma)/2} & c e^{i(\alpha+\gamma)/2} \end{pmatrix}$

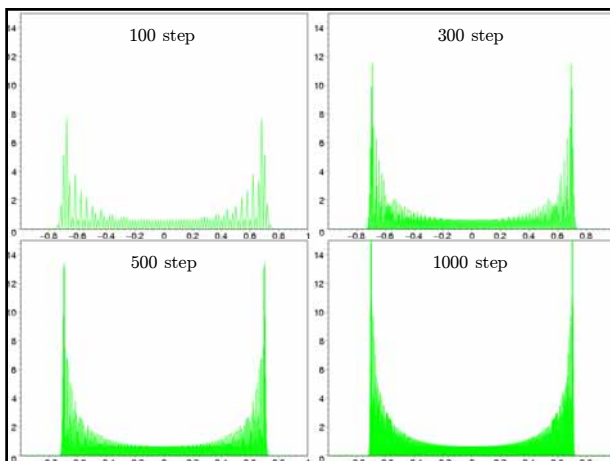
しかし、ユニタリ行列の固有値の絶対値は1 ($|\lambda| = 1$) なので波動関数 $\Psi(x, t)$ 及び確率密度 $P(x, t)$ は $t \rightarrow \infty$ の極限をとっても収束しない

今野の定理 (今野紀雄氏 横浜国大工学部)

N.Konno : Quantum Inf. Process 1 (2002) 345

J. Math. Soc. Jpn. 57 (2005) 1779

量子ウォークの擬速度 X_t/t の任意のモーメントは $t \rightarrow \infty$ の極限において収束する (弱収束)



今野の弱収束の定理

$$\text{SU}(2) = \left\{ R(\alpha, \beta, \gamma) = \begin{pmatrix} c e^{-i(\alpha+\gamma)/2} & -s e^{-i(\alpha-\gamma)/2} \\ s e^{i(\alpha-\gamma)/2} & c e^{i(\alpha+\gamma)/2} \end{pmatrix} \right\}$$

2×2 , $\det R = 1$ のユニタリ行列, $c = \cos \frac{\beta}{2}$, $s = \sin \frac{\beta}{2}$

$x = 0$ からスタートする量子ウォークの初期量子ビット

$$\Psi(x, 0) = \phi_0 = \delta_{x,0} \begin{pmatrix} q_{1/2} \\ q_{-1/2} \end{pmatrix} \Leftrightarrow \phi_0 = \begin{pmatrix} q_{1/2} \\ q_{-1/2} \end{pmatrix}$$

12

今野の分布関数

任意の $r = 0, 1, 2, \dots$ に対して

$$\lim_{t \rightarrow \infty} \left\langle \left(\frac{X_t}{t} \right)^r \right\rangle = \int_{-\infty}^{\infty} dy y^r \nu(y)$$

ただしここで、 $\nu(y)$ は

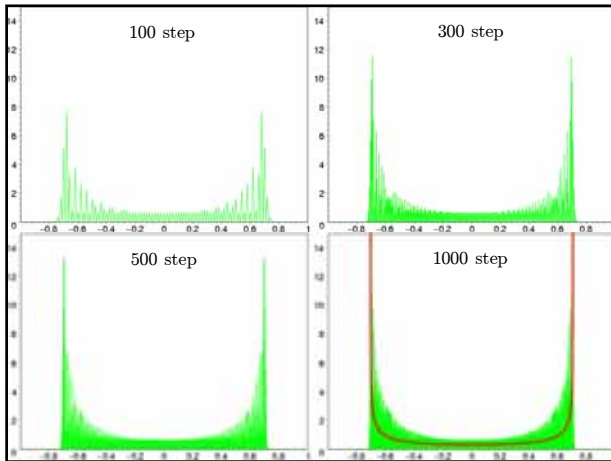
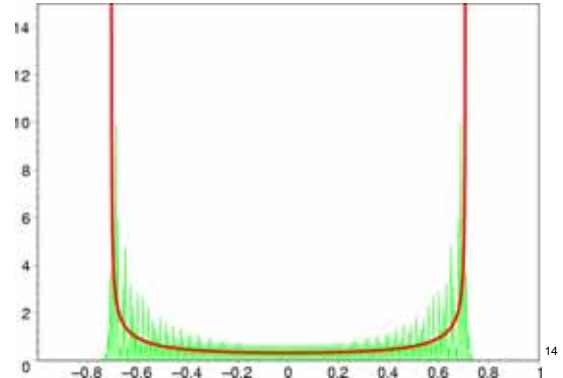
$$\mu(x; a) = \frac{\sqrt{1-a^2}}{\pi(1-x^2)\sqrt{a^2-x^2}} 1_{\{|x| < |a|\}}$$

$$\mathcal{M}(x) = 1 + \left[-\{|q_{1/2}|^2 - |q_{-1/2}|^2\} + 2\tau \operatorname{Re}\{q_{1/2}\bar{q}_{-1/2}e^{-i\gamma}\} \right] x$$

を用いて

$$\nu(y) = \mu\left(y; \cos \frac{\beta}{2}\right) \mathcal{M}(y)$$

$$R^{(1/2)} = \frac{i}{\sqrt{2}} \begin{pmatrix} 1 & 1 \\ 1 & -1 \end{pmatrix} \quad \phi_0 = \frac{1}{2} \begin{pmatrix} 1+i \\ 1-i \end{pmatrix}$$



§5 模型の拡張

量子力学の回転演算子

$$\hat{R}(\alpha, \beta, \gamma) = e^{-i\alpha \hat{J}_3} e^{-i\beta \hat{J}_2} e^{-i\gamma \hat{J}_3}$$

$$[\hat{J}_k, \hat{J}_\ell] = i \sum_{m=1}^3 \varepsilon_{k\ell m} \hat{J}_m, \quad k, \ell = 1, 2, 3$$

$\varepsilon_{k\ell m}$: 完全反対称テンソル

と表される

$$\hat{J}^2 |j, m\rangle = j(j+1) |j, m\rangle, \quad \hat{J}_3 |j, m\rangle = m |j, m\rangle, \quad \hat{J}^2 = \sum_{k=1}^3 \hat{J}_k^2$$

$$j = 0, \frac{1}{2}, 1, \frac{3}{2}, \dots, \quad m = -j, -j+1, \dots, j-1, j$$

16

回転行列のウィグナー公式

$$R_{mm'}^{(j)}(\alpha, \beta, \gamma) = \langle j, m | \hat{R}(\alpha, \beta, \gamma) | j, m' \rangle$$

$$R_{mm'}^{(j)}(\alpha, \beta, \gamma) = e^{-i\alpha m} r_{mm'}^{(j)}(\beta) e^{-i\gamma m'}$$

$$r_{mm'}^{(j)}(\beta) = \sum_{\ell} \Gamma(j, m, m', \ell) \left(\cos \frac{\beta}{2} \right)^{2j+m-m'-2\ell} \left(\sin \frac{\beta}{2} \right)^{2\ell+m'-m}$$

$$\Gamma(j, m, m', \ell) = (-1)^\ell \frac{\sqrt{(j+m)!(j-m)!(j+m')!(j-m')!}}{(j-m'-\ell)!(j+m-\ell)!\ell!(\ell+m'-m)!}$$

階乗をとる数は正または 0 になる範囲の ℓ で和をとる. ($0! = 1$)

具体的な表現行列

$$c = \cos(\beta/2), \quad s = \sin(\beta/2)$$

$j = 1/2$ case

$$r^{(1/2)}(\beta) = \begin{pmatrix} c & -s \\ s & c \end{pmatrix}$$

$j = 1$ case

$$r^{(1)}(\beta) = \begin{pmatrix} c^2 & -\sqrt{2}cs & s^2 \\ \sqrt{2}cs & 2c^2 - 1 & -\sqrt{2}cs \\ s^2 & \sqrt{2}cs & c^2 \end{pmatrix}$$

$j = 3/2$ case

$$r^{(3/2)}(\beta) = \begin{pmatrix} c^3 & -\sqrt{3}c^2s & \sqrt{3}cs^2 & -s^3 \\ \sqrt{3}c^2s & -2cs^2 + c^3 & s^3 - 2c^2s & \sqrt{3}cs^2 \\ \sqrt{3}cs^2 & -s^3 + 2c^2s & -2cs^2 + c^3 & -\sqrt{3}c^2s \\ s^3 & \sqrt{3}cs^2 & \sqrt{3}c^2s & c^3 \end{pmatrix}$$

18

模型の拡張 (2 状態から多状態へ)

$$\begin{pmatrix} \Psi_{1/2}(x, t) \\ \Psi_{-1/2}(x, t) \end{pmatrix} = \int_{-\pi}^{\pi} \frac{dk}{2\pi} \begin{pmatrix} e^{ik} & 0 \\ 0 & e^{-ik} \end{pmatrix} \begin{pmatrix} c e^{-i(\alpha+\gamma)/2} & -s e^{-i(\alpha-\gamma)/2} \\ s e^{i(\alpha-\gamma)/2} & c e^{i(\alpha+\gamma)/2} \end{pmatrix}^t \begin{pmatrix} q_{1/2} \\ q_{-1/2} \end{pmatrix}$$

$$\begin{pmatrix} \Psi_j^{(j)}(x, t) \\ \Psi_{j-1}^{(j)}(x, t) \\ \vdots \\ \Psi_{-j}^{(j)}(x, t) \end{pmatrix} = \int_{-\pi}^{\pi} \frac{dk}{2\pi} \begin{pmatrix} e^{2ij k} & & & \\ & e^{2i(j-1)k} & & \\ & & \ddots & \\ & & & e^{-2ij k} \end{pmatrix} R^{(j)}(\alpha, \beta, \gamma) \begin{pmatrix} q_j \\ q_{j-1} \\ \vdots \\ q_{-j} \end{pmatrix}$$

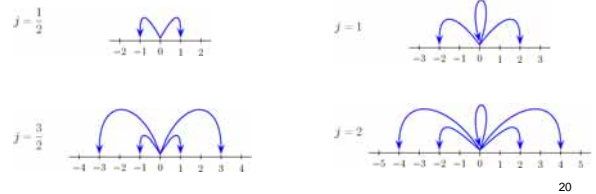
2 成分 qubit \Rightarrow $(2j + 1)$ -成分 qubit

19

実空間で表すと

$$\Psi_m^{(j)}(x, t+1) = \sum_{m'=-j}^j R_{mm'}^{(j)} \Psi_{m'}^{(j)}(x+2m, t)$$

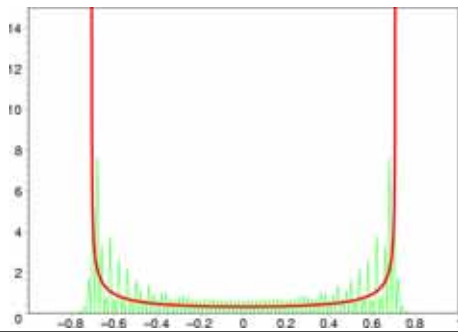
$$\Psi_m^{(j)}(x, 0) = \delta_{x0} \phi_0^{(j)}$$



20

§6 シミュレーションの結果

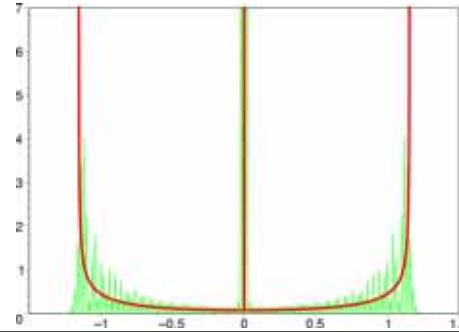
2 状態 $\phi_0 = \frac{1}{2} \begin{pmatrix} 1+i \\ 1-i \end{pmatrix}$ $R^{(1/2)} = \frac{i}{\sqrt{2}} \begin{pmatrix} 1 & 1 \\ 1 & -1 \end{pmatrix}$



21

3 状態

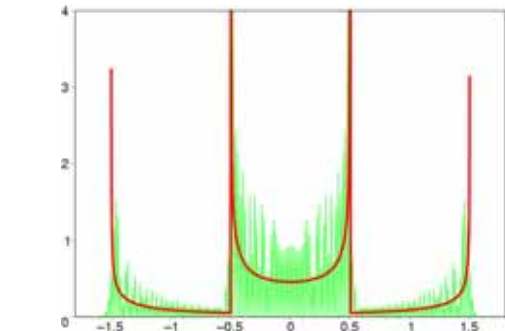
$$\phi_0 = \frac{1}{\sqrt{6}} \begin{pmatrix} 1-i \\ 1+i \\ 1-i \end{pmatrix} \quad R^{(1)} = \frac{1}{3} \begin{pmatrix} -1 & -2 & -2 \\ -2 & -1 & 2 \\ -2 & 2 & -1 \end{pmatrix}$$



22

4 状態

$$\phi_0 = \frac{1}{2\sqrt{5}} \begin{pmatrix} 1+3i \\ 0 \\ 0 \\ -3+i \end{pmatrix} \quad R^{(3/2)} = \frac{i}{8} \begin{pmatrix} 1 & 3 & 3\sqrt{3} & 3\sqrt{3} \\ 3 & 5 & \sqrt{3} & -3\sqrt{3} \\ 3\sqrt{3} & \sqrt{3} & -5 & 3 \\ 3\sqrt{3} & -3\sqrt{3} & 3 & -1 \end{pmatrix}$$



23

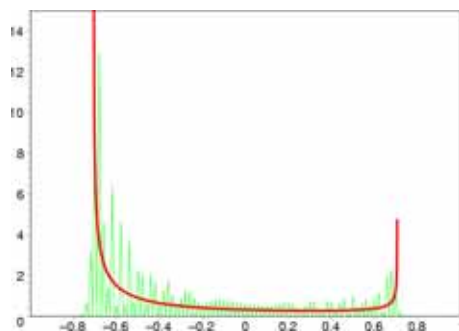
2 状態

symmetric

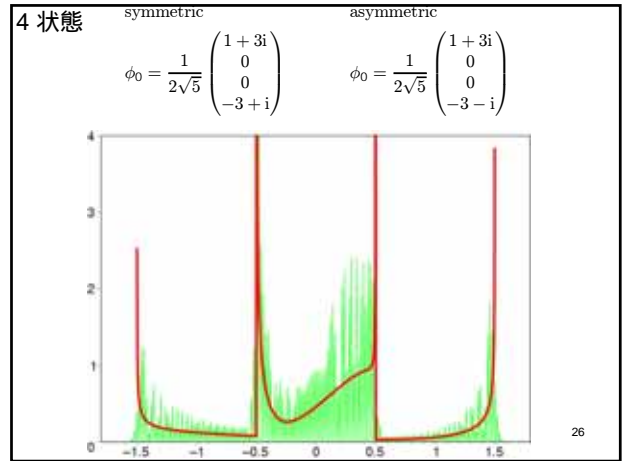
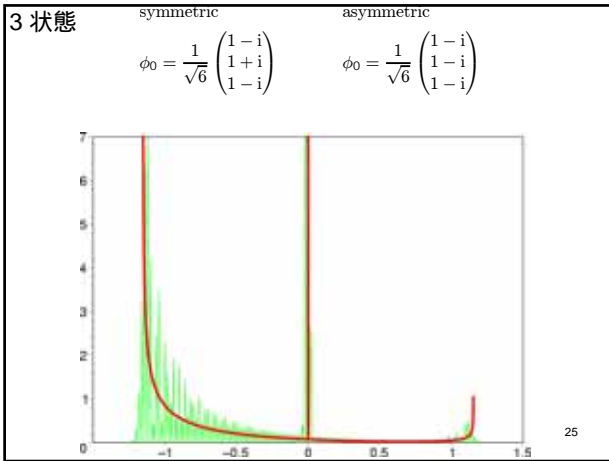
$$\phi_0 = \frac{1}{2} \begin{pmatrix} 1+i \\ 1-i \end{pmatrix}$$

asymmetric

$$\phi_0 = \frac{1}{2} \begin{pmatrix} 1+i \\ 1+i \end{pmatrix}$$



24



§7 Main Result

$$\lim_{t \rightarrow \infty} \left\langle \left(\frac{X_t^{(j)}}{t} \right)^r \right\rangle = \int_{-\infty}^{\infty} dy y^r \nu^{(j)}(y)$$

$$\nu^{(j)}(y) = \sum_{m: 0 < m \leq j} \frac{1}{2m} \mu \left(\frac{y}{2m}; \cos \frac{\beta}{2} \right) \mathcal{M}^{(j,m)} \left(\frac{y}{2m} \right) + 1_{\{(2j+1) \text{ is odd}\}} \Delta^{(j)} \delta(y)$$

qubit の成分数 $(2j+1) = \text{偶数}$

今野分布の重ね合せ

qubit の成分数 $(2j+1) = \text{奇数}$

今野分布の重ね合せ
+ デルタ関数 (局在成分)

27

今野分布の重ね合わせの重み

$$\lim_{t \rightarrow \infty} \left\langle \left(\frac{X_t^{(j)}}{t} \right)^r \right\rangle = \int_{-\infty}^{\infty} dy y^r \nu^{(j)}(y)$$

$$\nu^{(j)}(y) = \sum_{m: 0 < m \leq j} \frac{1}{2m} \mu \left(\frac{y}{2m}; \cos \frac{\beta}{2} \right) \mathcal{M}^{(j,m)} \left(\frac{y}{2m} \right) + 1_{\{(2j+1) \text{ is odd}\}} \Delta^{(j)} \delta(y)$$

α, β, γ パラメータ } を情報として持っている
 初期 qubit

↓

$\mathcal{M}^{(j,m)}$ は多項式である

28

$j = 1/2$ case (two-component model)

$$\mathcal{M}^{(1/2,1/2)}(x) = 1 + \mathcal{M}_1^{(1/2,1/2)} x$$

$$\mathcal{M}_1^{(1/2,1/2)} = -\{|q_{1/2}|^2 - |q_{-1/2}|^2\} + 2\tau \operatorname{Re}\{q_{1/2}\bar{q}_{-1/2}e^{-i\gamma}\}.$$

$j = 1$ case (three-component model)

$$\mathcal{M}^{(1,1)}(x) = \mathcal{M}_0^{(1,1)} + \mathcal{M}_1^{(1,1)} x + \mathcal{M}_2^{(1,1)} x^2$$

$$\mathcal{M}_0^{(1,1)} = \frac{1}{2}\{|q_1|^2 + 2|q_0|^2 + |q_{-1}|^2\} - \operatorname{Re}\{q_1\bar{q}_{-1}e^{-2i\gamma}\}$$

$$\mathcal{M}_1^{(1,1)} = -\{|q_1|^2 - |q_{-1}|^2\} + \sqrt{2}\tau \operatorname{Re}\{q_1\bar{q}_0 + q_0\bar{q}_{-1}\}e^{-i\gamma}$$

$$\mathcal{M}_2^{(1,1)} = \frac{1}{2}\{|q_1|^2 - 2|q_0|^2 + |q_{-1}|^2\} - \sqrt{2}\tau \operatorname{Re}\{q_1\bar{q}_0 - q_0\bar{q}_{-1}\}e^{-i\gamma} + (1 + 2\tau^2) \operatorname{Re}\{q_1\bar{q}_{-1}e^{-2i\gamma}\}$$

$$\Delta^{(1)} = 1 - \left\{ \mathcal{M}_0^{(1,1)} + \left(1 - \sin \frac{\beta}{2}\right) \mathcal{M}_2^{(1,1)} \right\}$$

29

$j = 3/2$ case (four-component model)

$$\mathcal{M}^{(3/2,3/2)}(x) = \mathcal{M}_0^{(3/2,3/2)} + \mathcal{M}_1^{(3/2,3/2)} x + \mathcal{M}_2^{(3/2,3/2)} x^2 + \mathcal{M}_3^{(3/2,3/2)} x^3$$

$$\mathcal{M}_0^{(3/2,3/2)} = \frac{1}{4}\{|q_{3/2}|^2 + 3|q_{1/2}|^2 + 3|q_{-1/2}|^2 + |q_{-3/2}|^2\} - \frac{\sqrt{3}}{2} \operatorname{Re}\{(q_{3/2}\bar{q}_{-1/2} + q_{1/2}\bar{q}_{-3/2})e^{-2i\gamma}\}$$

$$\mathcal{M}_1^{(3/2,3/2)} = -\frac{3}{4}\{|q_{3/2}|^2 + |q_{1/2}|^2 - |q_{-1/2}|^2 - |q_{-3/2}|^2\} - \frac{3}{2}\tau \operatorname{Re}\{q_{3/2}\bar{q}_{-3/2}e^{-3i\gamma} - q_{1/2}\bar{q}_{-1/2}e^{-i\gamma}\} + \frac{\sqrt{3}}{2}\tau \operatorname{Re}\{(q_{3/2}\bar{q}_{1/2} + q_{-1/2}\bar{q}_{-3/2})e^{-i\gamma}\} + \frac{\sqrt{3}}{2} \operatorname{Re}\{(q_{3/2}\bar{q}_{-1/2} - q_{1/2}\bar{q}_{-3/2})e^{-2i\gamma}\}$$

$$\mathcal{M}_2^{(3/2,3/2)} = \frac{3}{4}\{|q_{3/2}|^2 - |q_{1/2}|^2 - |q_{-1/2}|^2 + |q_{-3/2}|^2\} - \sqrt{3}\tau \operatorname{Re}\{(q_{3/2}\bar{q}_{1/2} - q_{-1/2}\bar{q}_{-3/2})e^{-i\gamma}\} + \frac{\sqrt{3}}{2}(1 + 2\tau^2) \operatorname{Re}\{(q_{3/2}\bar{q}_{-1/2} + q_{1/2}\bar{q}_{-3/2})e^{-2i\gamma}\}$$

$$\mathcal{M}_3^{(3/2,3/2)} = -\frac{1}{4}\{|q_{3/2}|^2 - 3|q_{1/2}|^2 + 3|q_{-1/2}|^2 - |q_{-3/2}|^2\} + \frac{1}{2}\tau(3 + 4\tau^2) \operatorname{Re}\{q_{3/2}\bar{q}_{-3/2}e^{-3i\gamma}\} - \frac{3}{2}\tau \operatorname{Re}\{q_{1/2}\bar{q}_{-1/2}e^{-i\gamma}\} + \frac{\sqrt{3}}{2}\tau \operatorname{Re}\{(q_{3/2}\bar{q}_{1/2} + q_{-1/2}\bar{q}_{-3/2})e^{-i\gamma}\} - \frac{\sqrt{3}}{2}(1 + 2\tau^2) \operatorname{Re}\{(q_{3/2}\bar{q}_{-1/2} - q_{1/2}\bar{q}_{-3/2})e^{-2i\gamma}\}$$

30

$$\mathcal{M}^{(3/2,1/2)}(x) = \mathcal{M}_0^{(3/2,1/2)} + \mathcal{M}_1^{(3/2,1/2)} x + \mathcal{M}_2^{(3/2,1/2)} x^2 + \mathcal{M}_3^{(3/2,1/2)} x^3$$

$$\mathcal{M}_0^{(3/2,1/2)} = \frac{1}{4} \left\{ 3|q_3/2|^2 + |q_1/2|^2 + |q_{-1}/2|^2 + 3|q_{-3}/2|^2 \right\} + \frac{\sqrt{3}}{2} \operatorname{Re} \left\{ (q_3/2\bar{q}_{-1/2} + q_1/2\bar{q}_{-3/2}) e^{-2i\gamma} \right\}$$

$$\mathcal{M}_1^{(3/2,1/2)} = -\frac{1}{4} \left\{ 3|q_3/2|^2 - 5|q_1/2|^2 + 5|q_{-1}/2|^2 - 3|q_{-3}/2|^2 \right\} + \frac{9}{2} \tau \operatorname{Re} \left\{ q_3/2\bar{q}_{-3/2} e^{-3i\gamma} \right\}$$

$$-\frac{1}{2} \tau \operatorname{Re} \left\{ q_1/2\bar{q}_{-1/2} e^{-i\gamma} \right\} + \frac{\sqrt{3}}{2} \tau \operatorname{Re} \left\{ (q_3/2\bar{q}_{1/2} + q_{-1}/2\bar{q}_{-3/2}) e^{-i\gamma} \right\}$$

$$-\frac{3\sqrt{3}}{2} \operatorname{Re} \left\{ (q_3/2\bar{q}_{-1/2} - q_1/2\bar{q}_{-3/2}) e^{-2i\gamma} \right\}$$

$$\mathcal{M}_2^{(3/2,1/2)} = -\frac{3}{4} \left\{ |q_3/2|^2 - |q_1/2|^2 - |q_{-1}/2|^2 + |q_{-3}/2|^2 \right\} + \sqrt{3} \tau \operatorname{Re} \left\{ (q_3/2\bar{q}_{1/2} - q_{-1}/2\bar{q}_{-3/2}) e^{-i\gamma} \right\}$$

$$-\frac{\sqrt{3}}{2} (1 + 2\tau^2) \operatorname{Re} \left\{ (q_3/2\bar{q}_{-1/2} + q_1/2\bar{q}_{-3/2}) e^{-2i\gamma} \right\}$$

$$\mathcal{M}_3^{(3/2,1/2)} = \frac{3}{4} \left\{ |q_3/2|^2 - 3|q_1/2|^2 + 3|q_{-1}/2|^2 - |q_{-3}/2|^2 \right\} - \frac{3}{2} \tau (3 + 4\tau^2) \operatorname{Re} \left\{ q_3/2\bar{q}_{-3/2} e^{-3i\gamma} \right\}$$

$$+ \frac{9}{2} \tau \operatorname{Re} \left\{ q_1/2\bar{q}_{-1/2} e^{-i\gamma} \right\} - \frac{3\sqrt{3}}{2} \tau \operatorname{Re} \left\{ (q_3/2\bar{q}_{1/2} + q_{-1}/2\bar{q}_{-3/2}) e^{-i\gamma} \right\}$$

$$+ \frac{3\sqrt{3}}{2} (1 + 2\tau^2) \operatorname{Re} \left\{ (q_3/2\bar{q}_{-1/2} - q_1/2\bar{q}_{-3/2}) e^{-2i\gamma} \right\}$$

31

§8 今後の課題

- $\mathcal{M}^{(j,m)}$ の一般的な表式

$j = \frac{1}{2}, 1, \frac{3}{2}$ は完全に求まった

↓
一般形は?

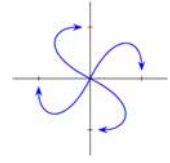
- 1次元 → 2状態, 3状態, 4状態...

↓

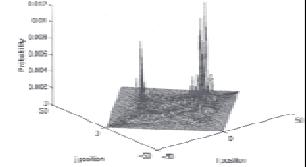
2次元 (正方格子) → 4状態...

↓

3次元 (立方格子) → 6状態...



Venagas-Andraca, et al.
New J. Phys. 7 (2005)



プレプリント
arXiv: quant-ph/0611022